

## 6.4 Formule di Green-Gauss in $\mathbb{R}^2$

Tali formule permettono di trasformare un integrale doppio in un opportuno integrale curvilineo e sono ricche di applicazioni, come vedremo in questo § e nei successivi. Esse valgono subordinatamente a certe ipotesi sul dominio a cui è esteso l'integrale doppio; premettiamo perciò alcune definizioni.

Sia  $T$  un dominio del piano  $xy$ . Diremo che esso è un *dominio regolare rispetto all'asse  $x$*  quando è un dominio normale rispetto all'asse  $x$ , cioè del tipo

$$T = \{(x, y) | x \in [a, b], \alpha(x) \leq y \leq \beta(x)\}, \quad [\text{con } \alpha(x) < \beta(x), \quad \forall x \in (a, b)],$$

con  $\alpha(x), \beta(x)$  (non solo continue, ma) *di classe  $C^1$*  in  $[a, b]$ .

La frontiera  $\partial T$  di un tale dominio si compone, oltre che di due (eventuali) segmenti paralleli all'asse  $y$ , dei grafici in  $[a, b]$  delle due funzioni  $y = \alpha(x), y = \beta(x)$  che sono due curve regolari, le cui tangenti non sono mai parallele all'asse  $y$ <sup>(2)</sup>.

In modo perfettamente analogo si definisce un *dominio regolare rispetto all'asse  $y$* .

Diremo poi che  $T$  è un *dominio regolare* quando verifica le due condizioni seguenti:

$\alpha$ ) è decomponibile in un numero finito di domini  $T_1, T_2, \dots, T_\nu$  (vedi § 5.1 nel caso dei compatti), *ognuno dei quali è un dominio regolare rispetto ad uno degli assi  $x, y$* ;

$\beta$ ) *la sua frontiera  $\partial T$  è costituita da un numero finito di curve regolari aventi in comune, a due a due, al più i loro punti estremi*<sup>(3)</sup>.

Per esempio, la figura 6.4.1a) mostra che un cerchio è un dominio regolare perché si può decomporre nei domini  $T_1, T_2, T_3$ , di cui i primi due sono regolari rispetto all'asse  $y$  ed il terzo rispetto all'asse  $x$ . Il dominio  $T$  ombreggiato in figura 6.4.1b) è regolare perché lo si è potuto decomporre in 8 domini di cui 5 regolari rispetto all'asse  $x$  e 3 rispetto all'asse  $y$ <sup>(4)</sup>. In entrambi i casi è poi evidentemente verificata la condizione  $\beta$ ).

In base alla definizione posta ed al teorema 4.6.II, è evidente che *ogni dominio regolare è limitato e misurabile*.

Su ciascuna delle curve regolari che costituiscono  $\partial T$ , riguarderemo come *verso positivo* quello secondo il quale deve avanzare un osservatore per avere alla sua sinistra l'interno di  $T$  (fig. 6.4.2). Per integrale curvilineo di una forma differenziale

<sup>(2)</sup>Per esempio il cerchio  $x^2 + y^2 \leq r^2$  non è un dominio regolare rispetto all'asse  $x$  (e nemmeno rispetto all'asse  $y$ ).

<sup>(3)</sup>La condizione  $\beta$ ) non è in generale conseguenza della  $\alpha$ ), cioè esistono domini  $T$ , decomponibili per esempio in due domini regolari rispetto a uno degli assi, che hanno la frontiera  $\partial T$  costituita da infinite curve regolari; si veda "Esercizi II", § 6.32.

<sup>(4)</sup>Nella figura 6.4.1b) sono segnati su  $\partial T$  i punti 1,2,3,4 ove la tangente è parallela all'asse  $x$  ed i punti 1',2',3',4' ove la tangente è parallela  $y$ . I primi non possono stare sulle curve relative ad un dominio parziale regolare rispetto all'asse  $y$ , i secondi non possono stare sulle curve relative ad un dominio parziale regolare rispetto all'asse  $x$ . Ciò spiega la decomposizione effettuata.

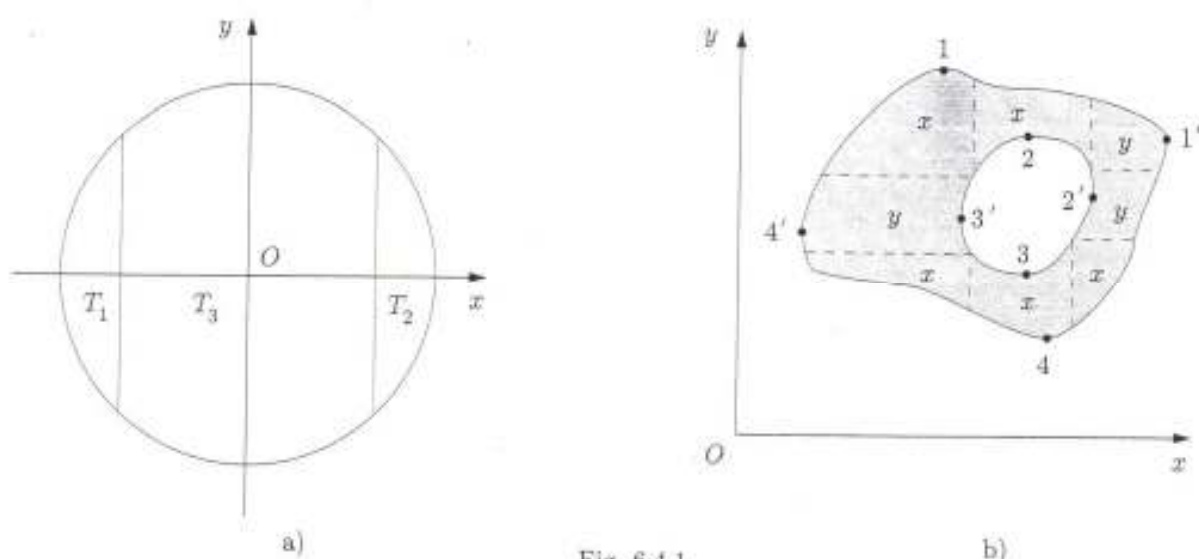


Fig. 6.4.1

$X(x, y)dx + Y(x, y)dy$ , esteso alla frontiera  $\partial T$  di un dominio regolare  $T$ , percorsa nel verso positivo, intenderemo la somma degli integrali curvilinei di tale forma estesi alle varie curve regolari (percorse nel predetto verso positivo) che compongono  $\partial T$ ; lo indicheremo col simbolo  $\int_{+\partial T} X dx + Y dy$ <sup>(5)</sup>.

Dimostriamo la seguente proprietà additiva:

**Teorema 6.4.I** – Se un dominio regolare  $T$  è decomposto in un numero finito di domini regolari  $T_1, T_2, \dots, T_\nu$  (§ 5.1), sussiste la formula:

$$\int_{+\partial T} X dx + Y dy = \sum_{i=1}^{\nu} \int_{+\partial T_i} X dx + Y dy. \quad (6.4.1)$$

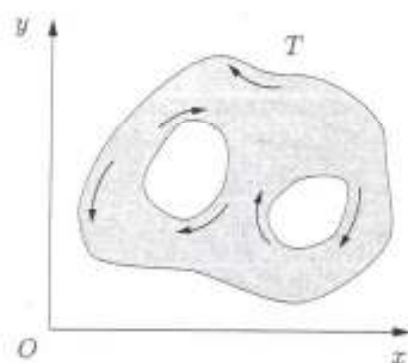


Fig. 6.4.2

Possiamo ora dimostrare il teorema seguente che fornisce le annunciate *formule di Green-Gauss*:

**Teorema 6.4.II** — Se  $T$  è un dominio regolare del piano  $xy$  e se  $f(x, y)$ ,  $g(x, y) \in C^0(T)$  ed inoltre  $f_x(x, y), g_y(x, y) \in C^0(T)$ , risulta

$$\iint_T \frac{\partial f}{\partial x} dx dy = \int_{+\partial T} f dy, \quad (6.4.2)$$

$$\iint_T \frac{\partial g}{\partial y} dx dy = - \int_{+\partial T} g dx^{(6)}. \quad (6.4.3)$$

→ Le (6.4.2), (6.4.3) si possono scrivere complessivamente con un'unica formula

$$\iint_T \left( \frac{\partial f}{\partial x} + \frac{\partial g}{\partial y} \right) dx dy = \int_{+\partial T} f dy - g dx, \quad (6.4.7)$$

che presenta a secondo membro una dissimmetria nelle variabili  $x, y$ . Ciò è facilmente giustificabile per il fatto che scambiando le variabili  $x, y$  si dovrebbero scambiare i termini *destra e sinistra*, mentre abbiamo mantenuto come unico verso  $+\partial T$  quello che lascia l'interno di  $T$  a sinistra.

## 6.5 Il teorema della divergenza

Le (6.4.2), (6.4.3), (6.4.7) si possono tuttavia unificare scrivendo gli integrali curvilinei delle forme differenziali a secondo membro, come integrali curvilinei di

funzioni. Introdotta su  $\partial T$  (cioè sugli archi regolari che la compongono) un'ascissa curvilinea  $s$ , contata positivamente nel verso  $+\partial T$  già stabilito, e considerata nei singoli punti regolari di  $\partial T$  la retta tangente  $\tau$  orientata positivamente nel senso delle  $s$  crescenti (cioè di  $+\partial T$ ) sia  $n$  la normale a  $\tau$  orientata in modo che la coppia di rette orientate  $\tau, n$  sia sovrapponibile in direzione e verso alla coppia orientata  $x, y$ ; sia cioè

$$\widehat{\tau n} = +\pi/2.$$

Ciò equivale a dire che  $n$  è orientata positivamente verso l'interno di  $T$ ; la chiameremo perciò *normale interna* [fig. 6.5.1].

Poiché si ha  $\widehat{x n} = \widehat{x y} + \widehat{y \tau} + \widehat{\tau n} = \widehat{y \tau} + \pi$  risulta

$$\cos \widehat{x n} = -\cos \widehat{y \tau};$$

inoltre ricordando che si passa dai coseni direttori di una retta a quelli della normale scambiandoli di posto e uno solo di segno, si ha anche

$$\cos \widehat{y n} = \cos \widehat{x \tau}.$$

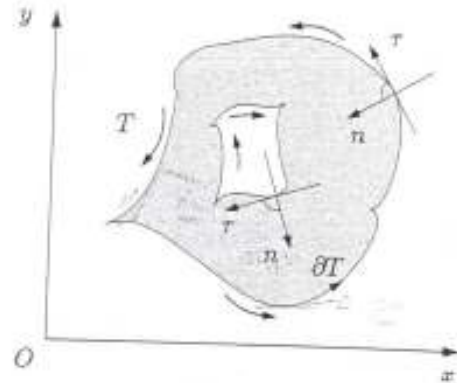


Fig. 6.5.1

Dalle (6.1.13) risulta allora che nei punti di  $\partial T$  si ha

$$dx = \cos \widehat{y n} ds, \quad dy = -\cos \widehat{x n} ds. \quad (6.5.1)$$

Ciò premesso, le (6.4.2), (6.4.3) e la loro somma (6.4.7) assumono la forma simmetrica rispetto alle variabili  $x, y$ :

$$\iint_T \frac{\partial f}{\partial x} dx dy = - \int_{+\partial T} f \cos \widehat{x n} ds; \quad \iint_T \frac{\partial g}{\partial y} dx dy = - \int_{+\partial T} g \cos \widehat{y n} ds; \quad (6.5.2)$$

$$\iint_T \left( \frac{\partial f}{\partial x} + \frac{\partial g}{\partial y} \right) dx dy = - \int_{+\partial T} (f \cos \widehat{x n} + g \cos \widehat{y n}) ds. \quad (6.5.3)$$

Alle (6.4.7) o (6.5.3) si dà il nome di *teorema della divergenza*.

Introdotta il campo vettoriale  $\vec{\Phi} = \vec{\Phi}(x, y) \equiv [f(x, y), g(x, y)]$ ,  $(x, y) \in T$ , si chiama *divergenza di  $\vec{\Phi}$*  nel punto  $(x, y)$  e si indica con  $\text{div } \vec{\Phi}$ , l'espressione (scalare)

$$\text{div } \vec{\Phi} = f_x(x, y) + g_y(x, y); \quad (6.5.4)$$



allora, indicando con  $\vec{n}$  il versore della normale *interna* a  $\partial T^{(7)}$ , l'espressione  $f \cos \widehat{x\vec{n}} + g \cos \widehat{y\vec{n}}$  che figura in (6.5.3) è il prodotto scalare  $\vec{\Phi} \cdot \vec{n}$ . La (6.5.3) si può scrivere perciò

$$\iint_T \operatorname{div} \vec{\Phi} \, dT = - \int_{+\partial T} \vec{\Phi} \cdot \vec{n} \, ds \quad (6.5.5)$$

che costituisce la forma vettoriale del teorema della divergenza. Per completezza va detto che in Fisica assai spesso si fa riferimento alla "normale esterna" e perciò la (6.5.5) va scritta a secondo membro con il segno +.

Il termine  $\vec{\Phi} \cdot \vec{n} \, ds$  si chiama flusso elementare del vettore  $\vec{\Phi}$  e l'integrale a secondo membro (6.5.5) assume il nome di *flusso (totale) del vettore  $\vec{\Phi}$  uscente da  $\partial T$*  (per una ragione che sarà spiegata dettagliatamente in  $\mathbb{R}^3$ ).

Se  $\operatorname{div} \vec{\Phi} = 0$ ,  $\forall (x, y) \in T$  il campo vettoriale  $\vec{\Phi}$  è detto *solenoidale*; in tale caso il flusso (totale) uscente da  $\partial T$  è *nullo*.

## 6.6 Valutazioni di integrali doppi con le formule di Green-Gauss

Sia  $f(x, y)$  una funzione continua in un dominio  $T$  regolare di  $\mathbb{R}^2$ ; se è nota una sua *primitiva parziale* rispetto  $x$ , cioè una funzione  $F(x, y)$  continua in  $T$  tale che

$$f(x, y) = F_x(x, y), \quad (x, y) \in T, \quad (6.6.1)$$

dalla (6.4.2) applicata alla funzione  $F_x$  segue.

$$\iint_T f(x, y) \, dx \, dy = \int_{+\partial T} F \, dy, \quad (6.6.2)$$

onde il calcolo di un integrale doppio è ricondotto ad un integrale curvilineo (cioè semplice). Analogamente se  $g = G_y$  si ha

$$\iint_T g \, dx \, dy = - \int_{+\partial T} G \, dx. \quad (6.6.3)$$

Le (6.6.2), (6.6.3) sono di immediata applicazione nel caso di frontiere  $\partial T$  aventi equazioni parametriche non complicate.

*Esempio 1* - Calcolare l'integrale doppio  $\iint_T x^2 y^2 \, dx \, dy$  ove  $T$  è il dominio limitato dall'ellisse  $\frac{x^2}{a^2} + \frac{y^2}{b^2} = 1$  (di equazioni parametriche  $x = a \cos t$ ,  $y = b \sin t$ , con  $0 \leq t \leq 2\pi$ ). Facciamo il calcolo applicando la (6.6.2); si trova successivamente

<sup>(7)</sup>Tutte le considerazioni svolte sono basate sulla possibilità di orientare  $\vec{n}$  verso l'interno di  $T$ . Si può dimostrare che se  $P$  è un punto "regolare" di  $\partial T$  esiste un segmento  $P'P''$  avente  $P$  come punto medio tale che  $P'P''$  appartiene a  $T$ , la parte rimanente a  $\partial T$ .

$$\begin{aligned} \iint_T x^2 y^2 dx dy &= \iint_T \frac{\partial}{\partial x} \left( \frac{1}{3} x^3 y^2 \right) dx dy = \frac{1}{3} \int_{+\partial T} x^3 y^2 dy = \\ &= \frac{1}{3} a^3 b^3 \int_0^{2\pi} \cos^4 t \sin^2 t dt = \frac{4}{3} a^3 b^3 \int_0^{\pi/2} (\cos^4 t - \cos^6 t) dt = \\ &= \frac{4}{3} a^3 b^3 \left( \frac{3\pi}{16} - \frac{5\pi}{32} \right) = \frac{\pi}{24} a^3 b^3. \end{aligned}$$

\* \* \*

Nel caso particolare  $f = 1$  oppure  $g = 1$ , le (6.6.2), (6.6.3) danno rispettivamente

$$\text{area } T = \int_{+\partial T} x dy, \quad \text{area } T = - \int_{+\partial T} y dx; \quad (6.6.4)$$

tali formule danno anche

$$\text{area } T = \frac{1}{2} \int_{+\partial T} x dy - y dx. \quad (6.6.5)$$

Le relazioni ora stabilite permettono di esprimere l'area di un dominio regolare  $T$  per mezzo di un opportuno integrale curvilineo di forma differenziale lineare (non esatta) esteso alla frontiera  $\partial T$ .

*Esempio 2* - Dato il dominio regolare  $T$  la cui frontiera  $\partial T$  è l'asteroide di equazioni parametriche  $x = a \cos^3 t$ ,  $y = a \sin^3 t$ ,  $t \in [0, 2\pi]$  [fig. 6.6.1] si ha

$$\begin{aligned} \text{area } T &= \frac{1}{2} \int_{+\partial T} x dy - y dx = \\ &= \int_0^{2\pi} [a \cos^3 t \cdot 3a \sin^2 t \cos t + \\ &+ a \sin^3 t \cdot 3a \cos^2 t \sin t] dt = \\ &= \frac{3}{2} a^2 \int_0^{2\pi} \cos^2 t \sin^2 t dt = \frac{3}{8} \pi a^2. \end{aligned}$$

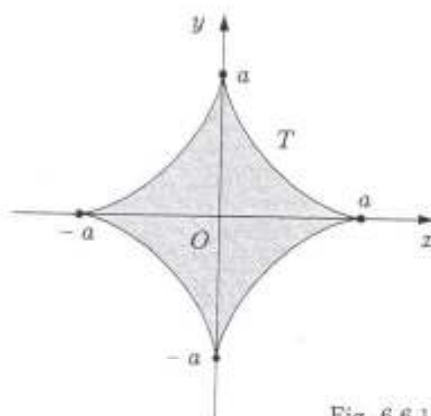


Fig. 6.6.1

\* \* \*

Dalle formule di Green-Gauss (6.4.2), (6.4.3) si possono dedurre formule di integrazione per parti. Se  $u(x, y)$ ,  $v(x, y)$ ,  $u_x(x, y)$ ,  $v_x(x, y)$  sono funzioni continue in  $T$ , da (6.4.2) si ha

$$\iint_T \frac{\partial(uv)}{\partial x} dx dy = \int_{+\partial T} u v dy.$$